

理论地震学作业

苏文君柳

2019 年 6 月 10 日

目录

1 Johnson(1974) 中 (26) 式的证明	1
2 基于 Matlab 的 (26) 式实现	6
2.1 程序编撰要点	6
2.2 程序结果	8
3 基于 Fortran 的 (26) 式实现与对比分析	10
3.1 f90 文件的编译	10
3.2 f90 文件的修改	10

1 Johnson(1974) 中 (26) 式的证明

根据要求, 我们只需证明公式的后半部分, 即和 s 相有关的部分。注意, 这里所谓的 S 波相并不完全是 S 波, 这里只是便于叙述的方便将其成为 S 波相, P 波项也是类似。

对于自由表面解, 可知原文中的 equation(15)

$$\mathbf{G}(\xi_1, \xi_2, 0, s; 0, 0, x'_3) = \frac{\exp(-\nu_\alpha x'_3)}{\mu d} \mathbf{M}(\xi_1, \xi_2, 0, s, x'_3) \mathbf{F} + \frac{\exp(-\nu_\beta x'_3)}{\mu d} \mathbf{N}(\xi_1, \xi_2, 0, s, x'_3) \mathbf{F} \quad (1)$$

将上式进行关于 ξ_1 和 ξ_3 的 Laplace 变换, 可得原文中的 equation(17)

$$\mathbf{G}(x_1, x_2, 0, s; 0, 0, x'_3) = \frac{-1}{4\pi^2\mu} \int_{-i\infty}^{i\infty} \left(\frac{\exp(-\nu_\alpha x'_3)}{d} \mathbf{M}(\xi_1, \xi_2, 0, s, x'_3) \mathbf{F} \right. \\ \left. + \frac{\exp(-\nu_\beta x'_3)}{d} \mathbf{N}(\xi_1, \xi_2, 0, s, x'_3) \mathbf{F} \right) \exp(\xi_1 x_1 + \xi_2 x_2) d\xi_1 d\xi_2 \quad (2)$$

并且利用 de Hoop 变换

$$\xi_1 = s(q\cos(\phi) - ipsin(\phi)) \quad (3)$$

$$\xi_2 = s(qsin(\phi) - ipc\cos(\phi)) \quad (4)$$

和 η_α 和 η_β 的表达式

$$\eta_\alpha = \sqrt{\alpha(-2) + p^2 - q^2} \quad (5)$$

$$\eta_\beta = \sqrt{\beta(-2) + p^2 - q^2} \quad (6)$$

我们可以得到

$$\gamma = \eta_\beta^2 + p^2 - q^2 \quad (7)$$

$$\sigma = \gamma^2 + 4\eta_\alpha 4\eta_\beta (q^2 - p^2) \quad (8)$$

通过对被积函数的一些性质分析, 最后我们可以得到

$$\mathbf{G}(x_1, x_2, 0, s; 0, 0, x'_3) = \frac{s}{\pi^2\mu} \text{Im} \left(\int_0^\infty dp \int_0^{+i\infty} \frac{1}{\sigma} [\exp(-st_\alpha) \mathbf{M}(q, p, s) \right. \\ \left. + \exp(-st_\beta) \mathbf{N}(q, p, s)] \mathbf{F} dq \right) \quad (9)$$

观察上式, 如果可以将 $\int_0^{i\infty} e^{-st_\beta} dq$ 的部分整理成 $\int_0^\infty e^{-st} dt$, 那么, 在此积分号内部的则为待求的 Green 函数。我们只考察 S 波相的部分。问题在于两点:

- 目前的积分变量是 dq , 需要换成 dt
- 积分的路径在虚轴上而不是在实轴

为了解决上述问题, 我们需要考察 t_β 和 q 的关系, 这个关系是通过之前进行 Laplace 变换定义而来

$$e^{-\nu_\beta x'_3} e^{x_1 \xi_1 + x_2 \xi_2} = e^{st_\beta} \quad (10)$$

经过一些基本关系式 (对于此问题的空间关系), 我们可以得到相应的表达式

$$t_\beta = -qr \sin(\theta) + \eta_\beta r \cos(\theta) \quad (11)$$

$$\eta_\beta = \sqrt{\alpha^{-2} + p^2 - q^2} \quad (12)$$

我们要求 t_β 是实数 (问题 2 的要求), 但是积分变量是 dq , 因此考察 q 的变化范围

$$q = r^{-1}[-t_\beta \sin(\theta) \pm \cos(\theta) \sqrt{\frac{r^2}{\beta^2} + p^2 r^2 - t_\beta^2}] \quad (13)$$

观察上式, 我们可知, 当 $\frac{r^2}{\beta^2} + p^2 r^2 - t_\beta^2 < 0$ 时, q 会从实数跳跃到虚数, 这个“起跳点”则是 $\frac{r^2}{\beta^2} + p^2 r^2 - t_\beta^2 = 0$ 整理后可知 $t_\beta = r \sqrt{\beta^{-2} + p^2}$, 再将 t_β 的表达式带入 (13) 中, 即可求出起跳点的位置

$$q = -\sqrt{\beta^{-2} + p^2} \sin(\theta) \quad (14)$$

注意观察 q 在复平面的行为, 它在复平面的实轴上有四个支点, 来源于 η_β 和 η_α 开根号的影响。经过分析可知四个支点为

$$q = \pm \sqrt{\alpha^{-2} + p^2} \quad (15)$$

$$q = \pm \sqrt{\beta^{-2} + p^2} \quad (16)$$

如果起跳点位于支点 $-\sqrt{\alpha^{-2} + p^2}$ 右侧, 那么对路径积分是没有贡献的 (既然起跳了就不会经过支点)。据此, $-\sqrt{\beta^{-2} + p^2} \sin(\theta) < -\sqrt{\alpha^{-2} + p^2}$, 整理后可知

$$\sin(\theta) = \sqrt{\frac{\alpha^{-2} + p^2}{\beta^{-2} + p^2}} \quad (17)$$

显然, 对于 p , 取值范围为 $[0, +\infty]$, 因此临界状态为 0, 那么最后的判断条件为

$$\theta < \theta_c = \arcsin\left(\frac{\beta}{\alpha}\right) \quad (18)$$

如果满足上述条件, 和 p 波的表达式类似, 此处不再赘述, 最后得到 Green 函数

$$\begin{aligned} \mathbf{G}(x_1, x_2, 0, s; 0, 0, x'_3) &= \frac{1}{\pi^2 \mu r} \int_0^{\frac{1}{\sqrt{(t/r)^2 - b^{-2}}}} H(t - r/\beta) \\ & \quad \text{Re}(\eta_\beta \sigma^{-1} \frac{1}{\sqrt{(t/r)^2 - \beta^{-2} - p^2}} \mathbf{N}) \mathbf{F} dp \end{aligned} \quad (19)$$

如果 $\theta > \theta_\beta$ ，那么就会经过负半轴第一个支点。为了更清晰的将积分变量进行替换，我们观察几个特殊的点，求出 q 和 t_β 的关系

$$t_\beta = 0; q = \cos(\theta)\sqrt{\beta^{-2} + p^2} \quad (20)$$

$$t_\beta = r\sin(\theta)\sqrt{(1/\alpha^2 + p^2)} + r\cos(\theta)\sqrt{\beta^{-2} - \alpha^{-2}}; q = -\sqrt{\alpha^{-2} + p^2} \quad (21)$$

$$t_\beta = r\sqrt{\alpha^{-2} + p^2}; q = \frac{1}{r}q = -\sin(\theta)\sqrt{\beta^{-2} + p^2} \quad (22)$$

请注意，我们的最终目标是求出在虚轴上的积分，这个过程是困难的，因此我们要利用复变函数的一些引理和定理。我们需要使用一条引理和一条定理：

- 大圆弧引理：大圆弧上的积分为 0
- 留数定理：复平面内闭合回路的积分等于所包围的奇点的留数

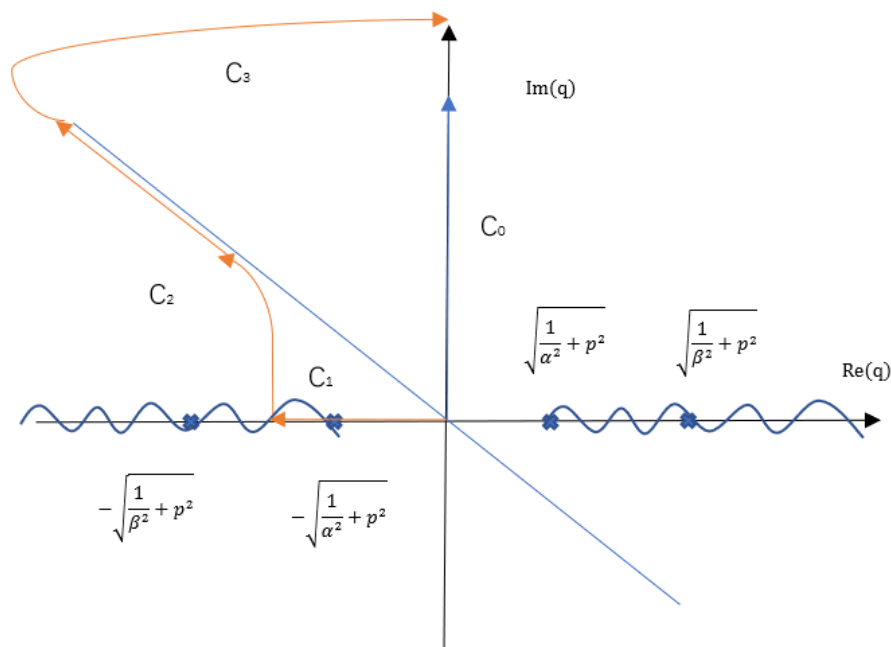


图 1: Cagniard-De Hoop 积分路径

对于图 1 中，大圆弧引理保证了 $\int_{C_3} = 0$ ，对于一个积分回路，有

$$\int_{C_1} + \int_{C_2} - \int_{C_0} + \int_{C_3} = 0 \quad (23)$$

(注意 C_3 的方向性, 积分的时候我们保证是正区域, 即顺着边界走, 被积区域永远在右侧。此时应从无穷远处积分至原点, 但是定义中 C_0 为原点到无穷远处), 经过简单的整理, 可以知道

$$\int_{C_0} = \int_{C_1} + \int_{C_2} \quad (24)$$

积分从原点开始, 不经过割线的地方对积分没有贡献 (积分为实数, 取虚部为 0), 经过割线后开始产生贡献, 因此 C_2 积分只计算支点到起跳点, 根据前文, 我们将积分变量 q 替换为 t_β , 原先 q 的积分范围为 $[0, +\infty]$, 那么现在 t_β 的积分范围为 $[r\sin(\theta)\sqrt{(1/\alpha^2 + p^2)} + r\cos(\theta)\sqrt{\beta^{-2} - \alpha^{-2}}, r\sqrt{\alpha^{-2} + p^2}]$ 和 $[r\sqrt{\alpha^{-2} + p^2}, +\infty]$, 因此可知

$$\begin{aligned} \text{Im}\left(\int_0^\infty dp \int_{c_0} \sigma^{-1} e^{-st_\beta} \mathbf{N} dq\right) &= \text{Im}\left(\int_0^\infty dp \int_{r\sqrt{\alpha^{-2} + p^2}}^\infty \sigma^{-1} e^{-st_\beta} \frac{\partial q}{\partial t_\beta} \mathbf{N} dt_\beta\right) + \\ &\quad \text{Im}\left(\int_0^\infty dp \int_{r\sin(\theta)\sqrt{(1/\alpha^2 + p^2)} + r\cos(\theta)\sqrt{\beta^{-2} - \alpha^{-2}}}^{r\sqrt{\alpha^{-2} + p^2}} \sigma^{-1} e^{-st_\beta} \frac{\partial q}{\partial t_\beta} \mathbf{N} dt_\beta\right) \end{aligned} \quad (25)$$

其中, 前者的导数符号和后者的导数符号分别为

$$\frac{\partial q}{\partial t_\beta} = i \frac{\eta_\beta}{\sqrt{t_\beta^2 - r^2(t_\beta^2 + r^2)}} \quad (26)$$

$$\frac{\partial q}{\partial t_\beta} = - \frac{\eta_\beta}{\sqrt{-t_\beta^2 + r^2(t_\beta^2 + r^2)}} \quad (27)$$

此时, 结果已经和 Laplace 变换表达式十分接近。我们只需进行积分变换, 将 t_β 放在外侧积分, 再利用阶跃函数的性质, 可将外侧整理成形如成 $\int_0^\infty e^{-st} dt$ 的形式, 内部的结果即为 Green 函数。

对于式 (25), 反解 $t = t(p)$ 的表达式, 整理成 $p = p(t)$ 的表达式, 可知上下限的表达式为

$$p = \sqrt{(t/r)^2 - 1/\beta^2} \quad (28)$$

$$p = \left[\left(\frac{t/r - (\beta^{-2} - \alpha^{-2})\cos(\theta)}{\sin(\theta)} - \alpha^{-2} \right)^{1/2} \right] \quad (29)$$

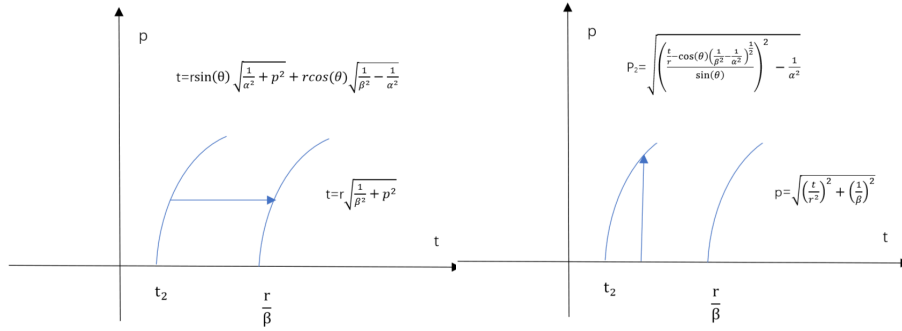


图 2: 先对 t_β 积分, 再对 p 积分 图 3: 先对 p 积分, 再对 t_β 积分

交换积分次序后进行整理。最后, S 相的 Green 函数可以写成

$$\begin{aligned}
 \mathbf{G} &= \frac{1}{\pi^2 \mu r} \frac{\partial}{\partial t} \int_0^{\sqrt{(t/r)^2 - 1/\beta^2}} H(t - r/\beta) \operatorname{Re} \left[\frac{\eta_\beta \mathbf{N}}{\sigma \sqrt{(t/r)^2 - \beta^{-2} - p^2}} \right] dp \\
 &- \frac{1}{\pi^2 \mu r} \frac{\partial}{\partial t} \int_0^{p_2} H(\sin \theta - \frac{\beta}{\alpha}) [H(t - t_2) - H(t - r/\beta)] \operatorname{Im} \left[\frac{\eta_\beta \mathbf{N}}{\sigma \sqrt{\beta^{-2} + p^2 - (t/r)^2}} \right] dp \\
 &- \frac{1}{\pi^2 \mu r} \frac{\partial}{\partial t} \int_{\sqrt{(t-r)^2 - 1/\beta^2}}^{p_2} H(\sin(\theta) - \frac{\beta}{\alpha}) H(t - r/\beta) \operatorname{Im} \left[\frac{\eta_\beta \mathbf{N}}{\sigma \sqrt{\beta^{-2} + p^2 - (t/r)^2}} \right] dp
 \end{aligned} \tag{30}$$

其中

$$t_2 = \frac{r}{\alpha} \sin(\theta) + \sqrt{1/\beta^2 - 1/\alpha^2} r \cos(\theta) \tag{31}$$

$$p_2 = \left[\left(\frac{t/r - \sqrt{(\beta^{-2} - \alpha^{-2})} \cos(\theta)}{\sin(\theta)} - \alpha^{-2} \right)^{1/2} \right] \tag{32}$$

2 基于 Matlab 的 (26) 式实现

2.1 程序编撰要点

Johnson(1974) 中 (26) 式的实现较为简单, 只需实现文中 (26) (34) 式即可, 但是在实际的操作过程中出现了两个问题.

- S 相的积分不能进行合并. 在实际编程过程中需要拆开
- 在积分内有一个可积奇点, 需要进行变量替换以消除这个奇点

其中, 对于第一点, 课程中已经有所提及。因此使用前节中最后得到的表达式进行计算。对于第二点, 需要进行分析。观察表达式可知, 奇点存在于 P 波项, S 波相的第一项, 第三项中。我们可以使用变换 (按顺序分别为 p 波, s 波第一项、第二项、第三项)

$$\begin{aligned}
 p &= ((t/r)^2 - \alpha^{-2})^{1/2} - v^2 \\
 p &= ((t/r)^2 - \beta^{-2})^{1/2} - v^2 \\
 p &= v \\
 p &= ((t/r)^2 - \beta^{-2})^{1/2} + v^2 \\
 q &= r^{-1}[-t_\beta \sin(\theta) + i \cos(\theta) \sqrt{-\frac{r^2}{\alpha^2} - p^2 r^2 + t_\alpha^2}] \\
 q &= r^{-1}[-t_\beta \sin(\theta) + i \cos(\theta) \sqrt{-\frac{r^2}{\beta^2} - p^2 r^2 + t_\beta^2}] \\
 q &= r^{-1}[-t_\beta \sin(\theta) + \cos(\theta) \sqrt{\frac{r^2}{\beta^2} + p^2 r^2 - t_\beta^2}] \\
 q &= r^{-1}[-t_\beta \sin(\theta) + \cos(\theta) \sqrt{\frac{r^2}{\beta^2} + p^2 r^2 - t_\beta^2}]
 \end{aligned} \tag{33}$$

此时, 格林函数的表达式为

$$\begin{aligned}
 \mathbf{W} &= \frac{2}{\pi^2 \mu r} \frac{\partial}{\partial t} \int_0^{((t/r)^2 - 1/\alpha^2)^{1/4}} H(t - r/\alpha) \text{Re}[\mathbf{M} \eta_\alpha \sigma^{-1} [2((t_\alpha/r)^2 - \alpha^{-2})^{1/2} - v^2]^{-1/2}] dp \\
 &+ \frac{2}{\pi^2 \mu r} \frac{\partial}{\partial t} \int_0^{((t/r)^2 - 1/\beta^2)^{1/4}} H(t - r/\beta) \text{Re}[\mathbf{N} \eta_\beta \sigma^{-1} [2((t_\beta/r)^2 - \beta^{-2})^{1/2} - v^2]^{-1/2}] dp \\
 &- \frac{2}{\pi^2 \mu r} \frac{\partial}{\partial t} \int_0^{p^2} H(\sin\theta - (\frac{\beta}{\alpha})) [H(t - t_2) - H(t - r/\beta)] \text{Im}[\frac{\eta_\beta \mathbf{N}}{\sigma \sqrt{\beta^{-2} + p^2 - (t/r)^2}}] dp \\
 &- \frac{2}{\pi^2 \mu r} \frac{\partial}{\partial t} \int_0^{\sqrt{p^2 - \sqrt{(t-r)^2 - 1/\beta^2}}} H(\sin(\theta) - \frac{\beta}{\alpha}) H(t - r/\beta) \text{Im}[\frac{\eta_\beta \mathbf{N}}{\sigma (2\sqrt{-\beta^{-2} + (t/r)^2 + v^2})^{1/2}}] dp
 \end{aligned} \tag{34}$$

另外, 在测试中, 使用了 Matlab 的 trapz 函数 (梯形积分函数)。发现在计算小于临界角的 Green 函数有效, 但是对于大于临界角的 Green 函数无效。经过长时间尝试后, 发现如果将被积函数写入 Matlab 的 m 文件中 (intcore), 再利用 integral 函数可以进行积分即可得到较为良好的结果。经过研究, 可能是因为大于临界角时, 积分的部分有可能是复数, 对于此情况,

trapz 函数可能无法进行计算。因此最后的程序文件为 main、calGreenFunc、intcore，之前采用的 trapz 方法的程序文件为 GreenFuncoldVersion

另外，虽然 Green 要求对 t 进行微分。但是 Johnson 的图片中结果并没有进行微分。

本次模拟所使用的介质参数为： $v_\alpha = 8.0km/h, v_\beta = 4.62km/h, \rho = 3.3g/cm^3$

2.2 程序结果

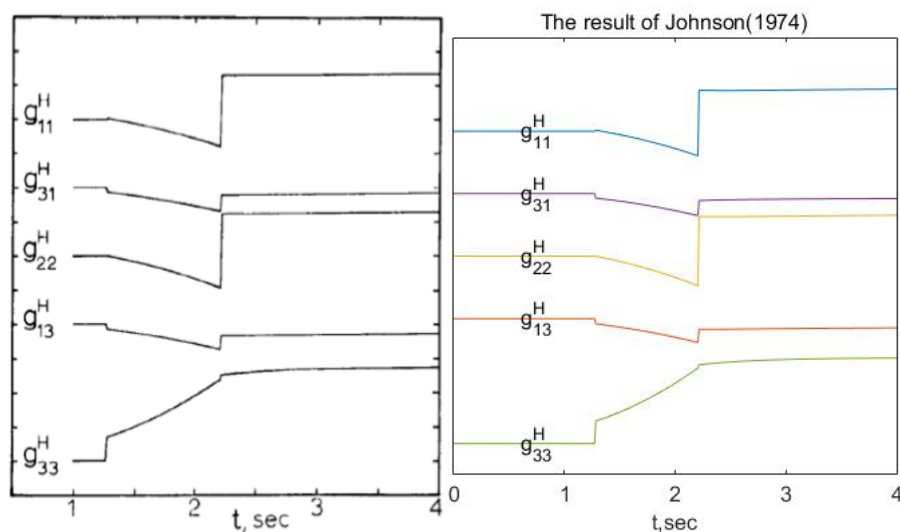


图 4: $x_1=2, x_3=10$, Johnson(1979) 图 5: $x_1=2, x_3=10$, matlab 结果

根据所给的参数，我们可以计算出理论的 P 波和 S 波到时分别为 $t = r/\alpha = 1.28s, t = r/\beta = 2.20s$ (假设 $r = 10.2km$)，观察第一次结果可清晰看到 P 波和 S 波的初至时间，有十分明显的起跳。在第二次结果中，S 波之后出现了新的波动 (g_{11}^H, g_{31}^H)。根据课程所学，判断是 Rayleigh 波。经过简单分析，第一次观测不到 Rayleigh 波可能是由于震源深度太深，Rayleigh 波衰减太大无法到达。值得注意的是 g_{22}^H 并没有受到影响。可见 P-SV 波和 SH 波是解耦的，二者互不影响。在第二次观测中，也可见 P 波和 S 波中的新起跳点，这个波显然不是 Rayleigh 波，只可能是沿着界面传播的转换波。

$$t = \frac{h}{\beta \cos \theta} + \frac{x - h \tan \theta}{\alpha} \quad (35)$$

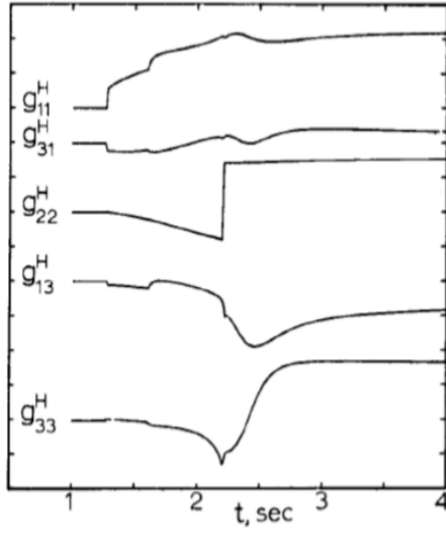


图 6: $x_1=10, x_{i_3}=2$, Johnson(1979)

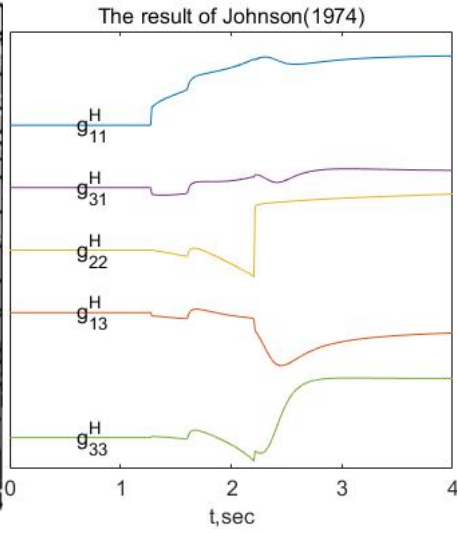


图 7: $x_1=10, x_{i_3}=2$, matlab 结果

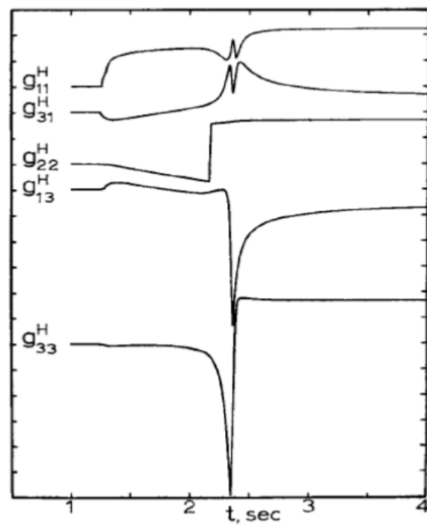


图 8: $x_1=10, x_{i_3}=0.2$, Johnson(1979)

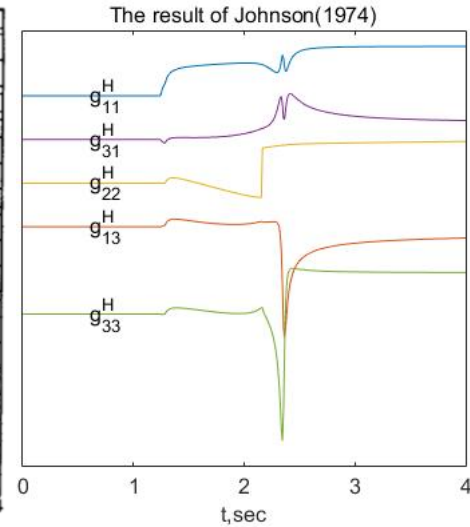


图 9: $x_1=10, x_{i_3}=0.2$, matlab 结果

如果计算转换波的到时, 可以判断其大概在 1.5s 左右到达, 和图上结果是相符的。在第三次观测中, 在 p 波和 s 波中间看不到起跳点, 但是相比第一次观测, 其振幅有明显增强, 可能是转换波到时太快, 和 p 波发生了重合。经过计算后发现其到时和 P 波到时相近, 符合我们的推测。

3 基于 Fortran 的 (26) 式实现与对比分析

本章将叙述编译由 Fortran 编写的, 基于基函数展开的求解半无限均匀介质中的 Green 函数. 主要叙述在编译 Fortran 文件中的问题以及与第二章的结果进行对比。

3.1 f90 文件的编译

本次编译的系统环境为 Windows 10, 最初采用的编译器和 IDE 为 intel visual fortran 和 Visual Studio。需要注意的地方有两处: 第一, IVF 和 VS 有版本的要求, 两者必须同为高版本或者同为低版本. 本次采用的版本为 IVF 2018 以及 VS 2013。第二, 安装过程中需要先安装 VS 再安装 IVF, 这样 IVF 可以对 VS 进行配置。IVF 可以利用学生邮箱 (带 edu 后缀) 申请学生版安装。

实际上, 在使用 IVF 进行编译时, 仍然遇到了一些问题。最后采用的编译器为 gfortran。由于 gfortran 需要 GNU 环境, 因此还安装了 MinGW-w64 作为 GNU 的编译套件, 然后安装 gfortran。最终 gcc 的版本为 8.1.0。

3.2 f90 文件的修改

在实际的编译过程中, 如果采用 IVF+VS, 可以编译成功, 但是运行程序时 cmd 窗口显示以下信息后会进入死循环。

```
Coordinate of Obs. Point=(x1,x2,x3)
Coordinate of Src. Point=(xi1,xi2,xi3)
```

经过断点分析发现, 程序始终在调用以下命令, 最后找到的根的数值为 Inf。判断原因可能是在 IVF 组件的定义中, rootfind 函数和该程序下的

rootfind 函数不兼容。

```
1 call rootfind(km, 1.0_dp/vs)
```

如果利用 gfortran 进行编译, 那么在进行编译时会出现两个问题. 第一, 在 mainf.f90 中, 以下命令无法编译

```
1 open(2, file='CON', carriagecontrol='FORTRAN')
```

最后发现, 该命令仅涉及到显示和输出正在计算的频率, 故直接注释.

第二个问题则在 `bessel.f90` 中, 以下命令无法编译

```
1 bessj1_s = sqrt(.636619772D0/ax)* &
2 (cos(xx)*(p1+y*(p2+y*(p3+y*(p4+y*p5)))) &
3 -z*sin(xx)*(q1+y*(q2+y*(q3+y*(q4+y*q5)))) &
  *sign(1.,x)
```

根据分析, 将 $sign(1., x)$ 替换为 $sign(1D0, x)$, 并利用 gfortran 按顺序编译文件, 即可得到可执行文件. 运行后得到 dat 文件, 再利用 matlab 即可作图. 为与 Johnson 和 Matlab 版本的结果做对比, 作图时采用了之前方法的成图 m 文件. 最后的结果如下图所示.

可见, Fortran 程序运行结果和 Jonhson 结果数值上有一定偏差, 但是趋势是一样的. 振幅不一样的原因可能是编译出问题, 也可能是将曲线排布在一起时没有进行良好的归一化. 相比于积分法, 传播矩阵法由于在频率域进行计算, 在进行 Fourier 变换时, 理论上需要无穷个采样点进行参与计算, 但在实际计算中是不可能做到的. 如果增加采样点的个数, 情况可能会有所改善, 但是不会完全消除这样的情况. 因此在 Green 函数变化的地方有一定的震荡, 可见图 16 所示.

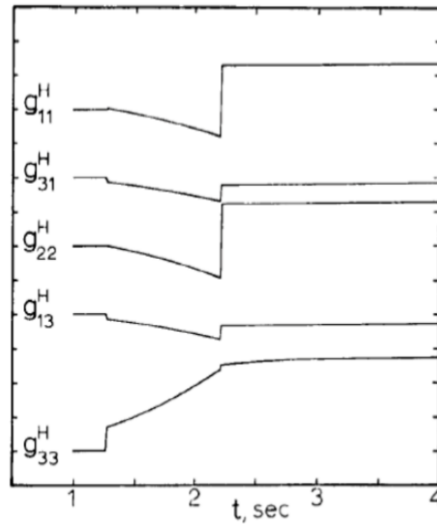


图 10: $x_1=2, x_{i_3}=10$, Johnson(1979)

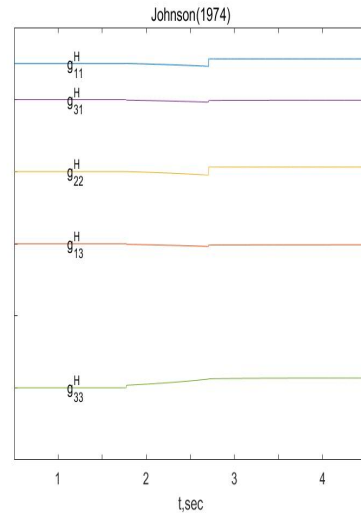


图 11: $x_1=2, x_{i_3}=10$, fortran 结果

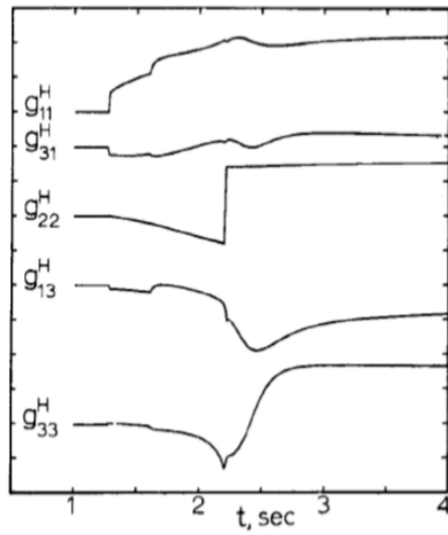


图 12: $x_1=10, x_{i_3}=2$, Johnson(1979)

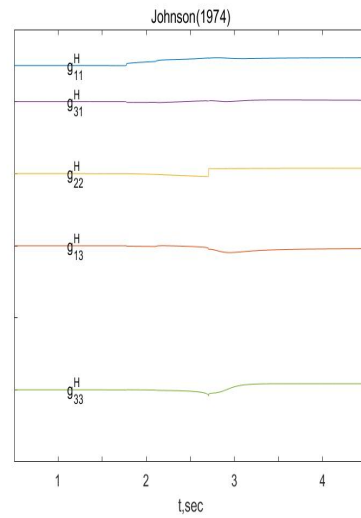


图 13: $x_1=10, x_{i_3}=2$, fortran 结果

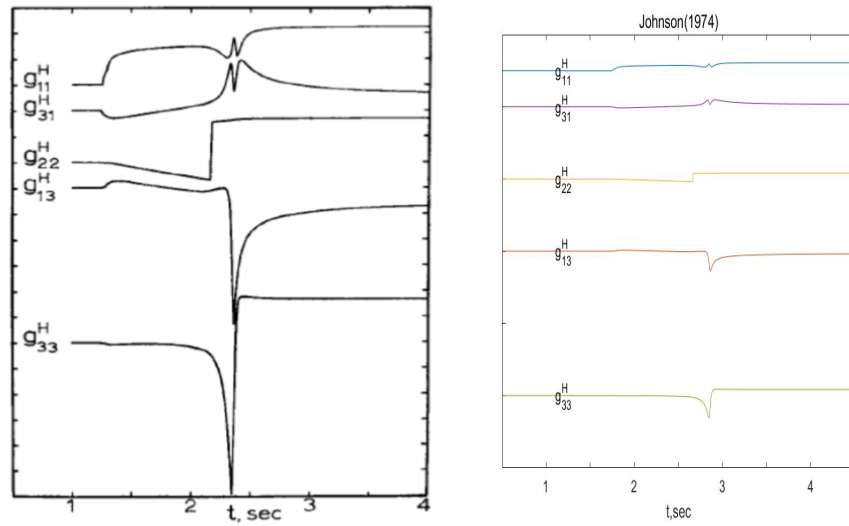


图 14: $x_1=10, x_{i_3}=0.2$, Johnson(1979) 图 15: $x_1=10, x_{i_3}=0.2$, fortran 结果

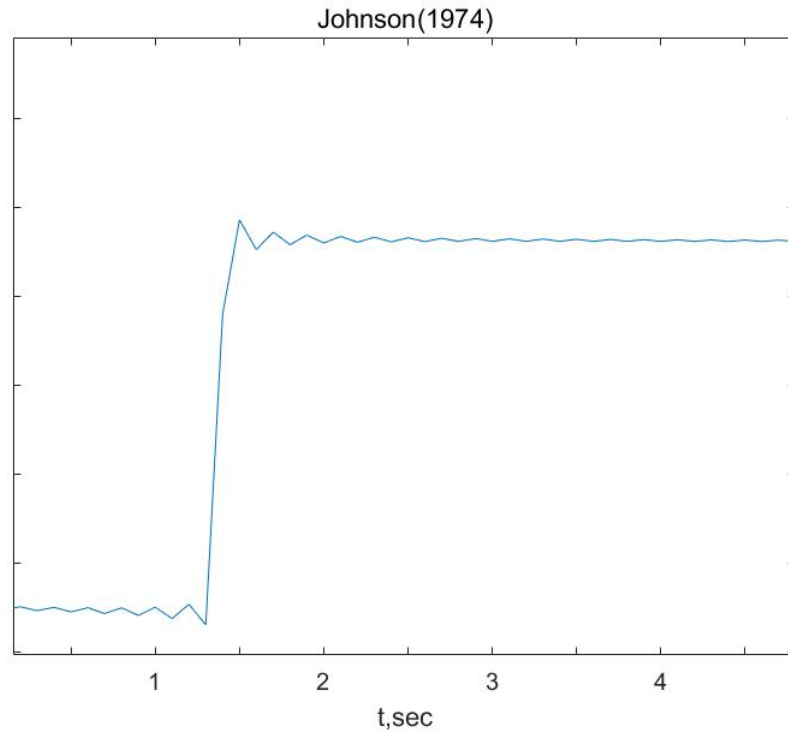


图 16: 函数震荡局部图 (图 11 局部放大)